

# KALIBRACJA ZMIENNOŚCI LOKALNEJ Z WYKORZYSTANIEM METODY REGULARYZACJI TICHONOWA

MARCIN KOBIERZYCKI

## SPIS TREŚCI

1. Wprowadzenie	1
2. Analiza zagadnienia	1
3. Implementacja numeryczna	4
4. Prezentacja wyników	12
5. Lista załączników	15
Literatura	16

## 1. WPROWADZENIE

Raport ten dotyczy realizacji numerycznej w pakiecie GNU Octave zagadnienia kalibracji zmienności lokalnej w modelu Blacka-Scholesa z wykorzystaniem metody regularyzacji Tichonowa zaproponowanej w [1] oraz w [2]. W rozdziale drugim przedstawiona zostanie koncepcja i założenia zagadnienia kalibracji zmienności lokalnej, a także schemat numeryczny. Kolejny rozdział poświęcony jest bezpośrednio prezentacji i omówieniu poszczególnych funkcji i bloków załączonego programu oraz formatu danych wejściowych. Natomiast czwarty rozdział posłuży ilustracji działania programu, prezentacji wyników oraz wykresów.

## 2. ANALIZA ZAGADNIENIA

Punktem wyjścia, z którego rozpoczynamy prezentację zagadnienia jest powszechnie znany model Blacka-Scholesa, który zapisuje się poniższym stochastycznym równaniem:

$$\frac{dS}{S} = \mu dt + \sigma dW, \quad (1)$$

gdzie  $S$ , to wartość aktywa podstawowego,  $\mu$  to współczynnik dryfu,  $\sigma$  zmienność aktywa, natomiast  $W$  jest standardowym procesem Wienera. Dane empiryczne wskazują, że założenie powyższego modelu o stałości współczynnika  $\sigma$  jest oderwane od rzeczywistości, czyniąc model ten adekwatnym tylko do wyceny najpłynniejszych instrumentów pochodnych (waniliowych opcji europejskich). Jednym z możliwych sposobów rozwiązania tego problemu jest ujęcie zmienności w tym modelu jako funkcji wartości aktywa podstawowego, oraz czasu. W takiej wersji model prezentuje się następująco:

$$\frac{dS}{S} = \mu dt + \sigma(S(t), t)dW. \quad (2)$$

Będąc postawionym przed problemem wyceny instrumentów pochodnych mniej płynnych niż waniliowe opcje, niezbędna jest identyfikacja parametrów tego modelu. Współczynnik dryfu jest dostępny bezpośrednio z kwotowań rynkowych. Natomiast niedostępny bezpośrednio jest powierzchnia zmienności. Odtwarzana zostaje ona z danych rynkowych przy założeniu, że skoro uogólniony model (2) wycenia instrumenty pochodne zgodnie z rynkiem (tzn. nie prowadząc do arbitrażu), to w szczególności musi być on zgodny z modelem podstawowym (1) w wycenie najpłynniejszych instrumentów pochodnych, jakimi są waniliowe opcje europejskie. Zatem powierzchnia zmienności lokalnej odtwarzana jest z kwotowań waniliowych opcji (tutaj: opcji kupna), które w praktyce rynkowej przedstawiane są w postaci zmienności implikowanej przez model (1) (czyli dane wejściowe:  $\sigma_{imp}(K, T)$ , gdzie  $K$ , to cena wykonania opcji, natomiast  $T$ , to termin zapadalności opcji). Tak postawione zagadnienie nazywa się kalibracją zmienności lokalnej w modelu Blacka-Scholesa i przynależy do ogólnej klasy zagadnień odwrotnych (ang. inverse problems).

Problem ten ujmujemy matematycznie następująco: Niech  $\sigma_{imp}(K, T)$  będzie wspomnianą powierzchnią zmienności implikowanej przez podstawowy model BS. Niech  $C(K, T)$  będzie tablicą cen waniliowych opcji europejskich uzyskaną z tablicy  $\sigma_{imp}(K, T)$  za pomocą wzoru Blacka-Scholesa (BSFormula, wikipedia), tj. zwartego wzoru na cenę waniliowej opcji kupna typu europejskiego wyprowadzonego z podstawowego modelu BS. Ponadto niech  $u(\sigma)$  będzie rozwiązaniem równania Dupire, czyli równania sprzężonego do równania Blacka-Scholesa (zob. [1], lub [2]) reprezentującym ceny kontraktów opcyjnych w uogólnionym modelu BS dla pewnej powierzchni zmienności reprezentowanej przez  $\sigma$ . Z formalnego punktu widzenia szukamy takiej powierzchni  $\sigma(K, T)$ , aby zminimalizować poniższy funkcjonal:

$$I(\sigma) = \|u(\sigma(K, T)) - C(K, T)\|_{L^2(\Omega \times [0, T^*])}^2 \quad (3)$$

Dodatkowym problemem, który pojawia się przy tym zagadnieniu jest fakt tego, iż tak rozumiany problem jest źle postawiony w tym sensie, że minimum nie jest osiągalne tylko dla jednej powierzchni  $\sigma$ . W szczególności podczas szukania minimum tak postawionego funkcjonału może się okazać, że raz następuje zbieżność w kierunku jednego z minimów, po to aby później odbić w kierunku drugiego minimum. Jednym z podejść do rozwiązywania zagadnień odwrotnych powyższego typu jest metoda regularyzacji Tichonowa: Funkcjonał  $I$  należy wzbogacić o dodatkowy czynnik  $\alpha \|\sigma(K, T) - \sigma^*(K, T)\|_{H^1(\Omega \times [0, T^*])}^2$ , gdzie  $\alpha > 0$ , natomiast  $\sigma^*$  jest pewnym wstępnym zgadnięciem szukanej powierzchni zmienności (u nas będzie to po prostu zmienność implikowana). Uzyskujemy funkcjonal:

$$J_\alpha(\sigma) = \|u(\sigma(K, T)) - C(K, T)\|_{L^2(\Omega \times [0, T^*])}^2 + \alpha \|\sigma(K, T) - \sigma^*(K, T)\|_{H^1(\Omega \times [0, T^*])}^2 \quad (4)$$

Dodany czynnik jest czynnikiem regularyzującym, wprowadzonym po to, aby w trakcie działania algorytmu zapewnić zbieżność do tego minimum, które znajduje się najbliżej  $\sigma^*$ . Sam współczynnik  $\alpha$  posiada następującą interpretację: im większy, tym zachowanie algorytmu będzie bardziej konserwatywne i większy nacisk przy optymalizacji będzie kładziony na zachowanie bliskości do zgadnięcia początkowego  $\sigma^*$ . Ponadto autorzy obu publikacji poczyniają założenie a priori odnośnie do postaci powierzchni zmienności lokalnej, a mianowicie:

$$\sigma(K, T) = \sigma_1(K) \cdot \sigma_2(T) \quad (5)$$

Przy tym założeniu zagadnienie kalibracji zmienności lokalnej rozбивa się na dwa podzagadnienia: początkową **identyfikację struktury uśmiechu**, czyli identyfikację postaci krzywej  $\sigma_1(K)$  przy  $T$  ustalonym na końcowe  $T^*$  oraz na późniejszą **identyfikację struktury terminowej**, czyli krzywej  $\sigma_2(T)$ . W niniejszym raporcie skoncentrujemy się, podobnie jak w obu publikacjach, przede wszystkim na identyfikacji struktury uśmiechu. Sama koncepcja działania algorytmu jest następująca: ustalamy pewien poziom dokładności  $\delta$ . Działamy dopóki ceny zwracane dla kolejnych powierzchni  $a$  przez równanie Dupire nie jest dostatecznie bliskie wektorowi cen  $C$  co do  $\delta$ . W kolejnych iteracjach algorytmu luzujemy więzy narzucone na współczynnik regularności  $\alpha$ , biorąc  $\alpha_i := 2^{1-i}$ . Funkcja `ZnajdzMinimumFunkcjonału`  $J_{2^{(1-i)}}$  jest funkcją minimalizującą wykorzystującą nieskończenie wymiarową metodę największego spadku.

```
delta = 0.0001;
i := 1;
a := a^*;
dopóki ||u(a) - C||^2 > delta
    b := znajdz_minimum_funkcjonału J_{2^(1-i)} rozpoczynając z a;
    a := b;
    i := i+1;
koniec pętli dopóki
```

Istotnym faktem jest to, iż w trakcie działania funkcji `ZnajdzMinimumFunkcjonału`  $J_{2^{(1-i)}}$  należy policzyć pochodną Frecheta funkcjonału  $J_{2^{(1-i)}}$  względem powierzchni zmienności, a następnie zlinearyzować ją rozwiązując równanie różniczkowe zwyczajne na gradient  $g$ , które prezentuje się w sposób następujący:

$$-g_{yy} + g = 2 \int_0^T (u_{yy} - u_y) dt + 2\alpha(-da_{yy} + da), \quad (6)$$

gdzie  $da = a - a^*$  ( $a$  oraz  $a^*$  są tutaj odpowiednio  $\sigma$  oraz  $\sigma^*$ , korzystając z pierwszych oznaczeń). Zostało to omówione w [1] z małą rozbieżnością na postać równania na gradient. **Bardzo ważnym** spostrzeżeniem na ten moment odnośnie do powyższego równania jest następujący fakt, który implikuje warunki brzegowe:

$$g(y_{min}) = g(y_{max}) = 0 \quad (7)$$

Konkretniej: ustalając w funkcji `solve_dupire` (omówionej w następnym rozdziale) warunki brzegowe:

```
u(1, j) = fwy(1);
u(M, j) = fwy(M);

# u(1, j) = max(S0 - exp(y_min), 0);
# u(M, j) = max(S0 - exp(y_max), 0); #==0
```

czyli zapisując na twardo równość rozwiązania równania Dupire oraz wektora cen opcji kwotowanych na rynku dla wartości końcowych  $y_{min}$  oraz  $y_{max}$  możemy patrzeć na to zagadnienie jako na problem przybliżenia do siebie dwóch krzywych, których końce zaczepione są w dwóch, tych samych punktach, z czego jedna nie podlega żadnym modyfikacjom (krzywa cen rynkowych), natomiast w drugiej możemy manipulować pewnym parametrem (zmienność dla krzywej zwracanej przez równanie Dupire).

## 3. IMPLEMENTACJA NUMERYCZNA

Przedstawimy w ogólnym zarysie zagadnienie kalibracji zmienności lokalnej metodą regularyzacji Tichonowa oraz schemat algorytmu numerycznego przechodzimy do prezentacji poszczególnych części programu. Najpierw omówiona zostanie struktura pliku z danymi wejściowymi `locvol_data.txt`:

```
M -- liczba węzłów dla zmiennej przestrzennej
# name: M
# type: global scalar
110
```

```
N -- liczba węzłów dla zmiennej czasowej
# name: N
# type: global scalar
130
```

```
delta -- poziom precyzji dla głównej pętli algorytmu
# name: delta
# type: global scalar
0.0001
```

```
delta2 -- poziom precyzji dla pętli w funkcji minimalizującej
metodą gradientową
# name: delta2
# type: global scalar
0.0001
```

```
S0 -- wartość początkowa aktywa podstawowego
# name: S0
# type: global scalar
3.84926137
```

```
Oczywiste
# name: STOPA_PROC
# type: global scalar
0.05
```

```
Oczywiste
# name: ZMIEN_IMPL
# type: global scalar
0.1
```

```
ITER_ZEWN - Górne ograniczenie na liczbę iteracji w głównej
pętli algorytmu
# name: ITER_ZEWN
# type: global scalar
4
```

```
ITER_WEWN - Górne ograniczenie na liczbę iteracji w funkcji
```

minimalizującej metodą gradientową

```
# name: ITER_WEWN
```

```
# type: global scalar
```

```
3
```

Program standardowo działa przy założeniu stałej struktury terminowej stopy procentowej ( $r=0.05$ ) oraz stałości zmienności implikowanej ( $\text{imp\_vol} = 0.1$ ). Przechodzimy do struktury pliku wykonywalnego **locvol.m**:

**y to wektor reprezentujący siatkę przestrzenną dla zdyskontowanych cen wykonania  $K$  (zlogarytmowaną):**

```
global y = log(K * DISC(T_y(10)));
global y_int = log(K_int * DISC(T_y(10)));
global T_y_int = interp1(1:10, T_y, linspace(1,10,N));
global y_min = min(y(:,10));
global y_max = max(y(:,10));
global dM = (y_max - y_min)/(M-1);
global dN = 1/(N-1);
```

**Funkcja licząca cenę waniliowej europejskiej opcji call w standardowym modelu Blacka-Scholesa:**

```
#Wzor Blacka-Mertona-Scholesa
```

```
# Pamietac, ze strike to K, a nie y
```

```
# T w latach
```

```
function blackie = bs(S0, K, T, r, sigma)
```

```
    d1 = (log(S0/K) + (r+0.5*sigma^2)*T)/(sigma*sqrt(T));
```

```
    d2 = d1 - sigma*sqrt(T);
```

```
    blackie = normcdf(d1, 0, 1)*S0 - normcdf(d2, 0, 1)*K*exp(-r*T);
```

```
endfunction
```

Poniżej znajduje się funkcja rozwiązująca równanie Dupire zapisane w zmiennych logarytmicznych tak, jak w (9) w [2]. a to krzywa w zmiennych logarytmicznych reprezentująca zmienność dla której rozwiązywane jest równanie. Wykorzystany został schemat implicit.

```
#Funkcja rozwiazajaca rownanie Dupire schematem implicit. a to wektor 1..M
```

```
function z = solve_dupire(a)
```

```
    global S0;
```

```
    global M;
```

```
    global dM;
```

```
    global dN;
```

```
    global N;
```

```
    global y_min;
```

```
    global y_max;
```

```
    global T_y;
```

```
    global fwy;
```

```
    u = zeros(M, N);
```

```
    for i = 1:M
```

```
    #     u(i, 1) = max(S0 - exp(y_min +(i-1)*dM)/DISC(T_y(10)),0);
```

```
        u(i, 1) = max(S0 - exp(y_min +(i-1)*dM),0);
```

```

endfor;

for j = 2:N
    u(1,j) = fwy(1);
#    u(1,j) = 1.62222493467445;
#    u(1,j) = max(S0 - exp(y_min),0);
#    u(M, j)= max(S0 - exp(y_max),0);#==0
    u(M, j)= fwy(M);
#    u(M, j)= 0.0104580210051421;#==0
#    u(1,j) = max(S0 - exp(y_min)/DISC(T_y(10)),0);
#    u(M, j)= max(S0 - exp(y_max)/DISC(T_y(10)),0);
endfor;

#IMPLICIT

vec = u(2:(M-1),1);

for ny = 2:N
    Q = zeros(M-2,M-2);
    for i = 1:(M-3)
        Q(i,i) = (1 - dN*a(i+1)*(-(dM)^(-1)-2*(dM)^(-2)));
        Q(i,i+1) = -dN*a(i+1)*(dM)^(-2);
        Q(i+1,i) = -dN*a(i+2)*((dM)^(-1) + (dM)^(-2));
    endfor
    Q(M-2,M-2) = (1 - dN*a(M-1)*(-(dM)^(-1)-2*(dM)^(-2)));

    d = zeros(1,M-2);
    d(1) = dN*a(2)*((dM)^(-1) + (dM)^(-2)) * (u(1,ny));
    d(M-2) = dN*a(M-1)*(dM)^(-2) * (u(M,ny));
    d = d';
    vec_new = Q \ (vec + d);
    u(2:(M-1),ny) = vec_new;
    vec = vec_new;
endfor

z = u;

endfunction;

```

W funkcji `solve_add_eqn` rozwiązujemy sztuczne równanie, które pojawiło się przy liczeniu gradientu w (5.2) w [1]. Tutaj najpierw jest podstawienie  $S:=a(y)R(y)$  a później zamieniamy czas jak poniżej i w takiej postaci zwracane jest rozwiązanie. Później przy liczeniu gradientu trzeba będzie pamiętać o tej zamianie czasu. Schemat implicit. `init_f` to funkcja  $r(y)$ , jak w publikacji, natomiast  $a$  to zmienna w zmiennych logarytmicznych.

```

function zz = solve_add_eqn(init_f, a)
global S0 M N dM dN;

```

```

S = zeros(M, N);
S(:, 1) = init_f .* a;

vec = S(2:(M-1),1);

for ny = 2:N
    Q = zeros(M-2,M-2);
    for i = 1:(M-3)
        Q(i,i) = (1 - dN*a(i+1)*((dM)^(-1)-2*(dM)^(-2)));
        Q(i,i+1) = -dN*a(i+1)*(dM)^(-2);
        Q(i+1,i) = dN*a(i+2)*((dM)^(-1) - (dM)^(-2));
    endfor
    Q(M-2,M-2) = (1 - dN*a(M-1)*((dM)^(-1)-2*(dM)^(-2)));

    d = zeros(1,M-2);
    d(1) = -dN*a(2)*((dM)^(-1) - (dM)^(-2)) * (S(1,ny));
    d(M-2) = dN*a(M-1)*(dM)^(-2) * (S(M,ny));
    d = d';
    vec_new = Q \ (vec + d);
    S(2:(M-1),ny) = vec_new;
    vec = vec_new;
endfor

zz = S;

endfunction;

```

Ponizej znajduje sie funkcja zaczerpnieta z pakietu ode-bvp sluzaca do rozwiazywania rownan drugiego rzędu z podwojnym warunkiem brzegowym.

```

function sol = lfdif(v)

    global dM;
    global M;
    global N;
    global y_int y_min y_max;

    h = dM;
    x = y_int(2:(M-1), N)';
    #a = 2 + h^2 * q(x);
    a = 2 + h^2 * ones(1, M-2);
    b = -1 + (h / 2.) * zeros(1, (M-2));
    c = -1 - (h / 2.) * zeros(1, (M-2));

    A = spdiag(c(2 : (M-2)), -1) + spdiag(a) + spdiag(b(1 : M-3), 1);

    d(1) = -h^2 * v(1) + (1 + (h / 2.) * 0) * 0;

```

```

d(2 : M-3) = -h^2 * v(2 : M-3);
d(M-2) = -h^2 * v(M-2) + (1 - (h / 2.) * 0) * 0;

x = vertcat(y_min, x', y_max);
# y = vertcat(0, A\d', 0);
y = vertcat(1, A\d', 0);

sol = horzcat(x, y);
endfunction

# Kwadrat normy H1

function ution = H1norm2(b)
    global M;
    global dM;
    global y_min y_max;

    c = b;
    for i = 1:(M-1)
        c(i) = (b(i+1) - b(i))/dM;
    endfor;
    c(M) = (b(M) - b(M-1))/dM;

    ution = trapz(linspace(y_min, y_max, M), b.^2 + c.^2);

endfunction;

#pierwsza pochodna przestrzenna

function rep = diff1(b)
    global dM M;
    c = b;
    for i = 1:(M-1)
        c(i) = (b(i+1) - b(i))/dM;
    endfor;
    c(M) = (b(M) - b(M-1))/dM;

    rep = c;
endfunction;

#druga pochodna przestrzenna

function rep = diff2(b)
    global dM M;
    c = b;
    for i = 1:(M-1)
        c(i) = (b(i+1) - b(i))/dM;
    endfor;

```



```

c(M) = (b(M) - b(M-1))/dM;

for i = 1:(M-1)
    c(i) = (c(i+1) - c(i))/dM;
endfor;
c(M) = c(M-1);

rep = c;
endfunction;

```

Ponizej znajduje się kod dla odtworzenia struktury uśmiechu. Zaczynamy od obliczenia wektora cen z danych rynkowych (wektor  $f$ ) dla zmienności implikowanej przy końcowym czasie  $T$ . Tutaj  $cc$  oznacza wektor, który dla  $i$ -ej iteracji głównej jest wektorem minimalizującym poprzedni funkcjonal  $J_{\alpha-1}$ . Dla pierwszej iteracji, jest to po prostu zmienność implikowana dla końcowego czasu.

```

f = zeros(1,M);
imp_vol(:, N) = ZMIEN_IMPL;

for i = 1:M
    f(i) = bs(S0, K_int(i, N), T_y_int(N),
              r_cont(r(T_y_int(N), T_y, r_d)), imp_vol(i, N));
endfor;

#plot(log(K_int(:, N)*DISC(T_y(10))),f, "r");

# Bierzemy odcinek [y_min, y_max] w zmiennych logarytmicznych (czyli w)
# i interpolujemy wektor cen rynkowych (wektor f) przy takich zmiennych.
# Wynik zapisujemy w fwy

w = linspace(y_min, y_max, M);
q = exp(w)/DISC(T_y(10));
q(1) = K_min;
q(M) = K_max;
fwy = interp1(K_int(:,N), f, q);
#plot(w, fwy)

#plot(0.5*imp_vol(:,N).^2)

dist = 3*delta;

#####WAZNE#####
# W pierwszej publikacji co do wyznaczania ciągu współczynników
# regularyzujących autorzy korzystali # z kryterium Morozova.
# W drugiej napisali, że wystarczy wziąć  $\alpha_0$  dowolne, a  $\alpha_i$ 
# =  $\alpha_{i-1}/2$ . Tak też to zaimplementowałem.

```

```
count = 1;
cc = 0.5*imp_vol(:,N).^2;
astar = cc;

#astar, to początkowy strzał. W naszym przypadku po prostu zmienność
#implikowana. astara nie zmieniamy w trakcie działania iteracji

#główna pętla minimalizująca
while ((dist > delta) && count <=ITER_ZEWN) # (4,3) daje 1,41e-4 M110 N130;

    if count >=2
        odp_old = odp;
    endif

    figure(44+count);
    hold on;
    plot(w(2:(M-1)), cc(2:(M-1)), "g");
    hold off;

    odp = solve_dupire(cc);
    if count == 9999
        smile = cc;
        save "smilestr.txt" smile
    endif

# tutaj zapewniamy sobie graficzną ilustrację tego, czy i jak zbiegają
# krzywe do danych rynkowych

    if count >=2
#        if count == 7744
            figure(count);
            hold on;
            plot(w, fwy, "r");
            plot(w, odp_old(:,N)', "b");
            plot(w, odp(:,N)', "g");
            hold off;
        endif

#dist - odległość w  $L^2$  danych rynkowych od cen odpowiadających obecnej
# strukturze uśmiechu

        dist = trapz(w, (odp(:,N)')-fwy).^2);
        NAJWAŻNIEJSZA_ODLEGLOSC = dist

#incount -- licznik iteracji wewnętrznej pętli
incount = 0;
```

KALIBRACJA ZMIENNOŚCI LOKALNEJ Z WYKORZYSTANIEM METODY REGULARYZACJI TICHONOWA

```

x_1 = cc;

printf("PETLA NUMER %d:\n", count);

#wewnetrzna petelka sluzaca do minimalizacji funkcjonalu J_{alpha_i}.
#Metoda: prosta metoda gradientowa. (steepest descent method)
do
    x_0 = x_1;

    odp_x = solve_dupire(x_0);
    add = solve_add_eqn(odp_x(:,N)'\-fwy, x_0');

# zeby policzyc gradient mamy (Ponizej wzoru (5.2) w pierwszej publikacji
# (u_yy i u_y)R = u_\tau * S / (a^2). (przy czym nalezy pamietac, ze S mamy
# w odwroconym czasie w programie)

    aa = x_0 .* x_0;

# ss - pochodna czasowa rozwiazania rnia Dupiry
    ss = odp_x;

    for i = 1:M
        ss(i,N) = (ss(i,N) - ss(i,N-1))/dN;
    endfor;

    for j = 1:(N-1)
        for i = 1:M
            ss(i,j) = (ss(i,j+1) - ss(i,j))/dN;
        endfor;
    endfor;

# s - wektor reprezentujacy to, co mamy w rniu zwyczajnym na gradient
# po prawej stronie. (Wzor o jeden ponizej od (5.2) w pierwszej publikacji)
    s = zeros(1, M);

    for i = 1:M
        s(i) = 2*trapez(linspace(0, 1, N), ss(i,:).*add(i, N:-1:1)/aa(i))
            + 2*(2^(count-1))*(-diff2(x_0'-astar')(i) + x_0(i) - astar(i));
    endfor;

    grad = lfdif(s(2:(M-1)))(:,2);
    x_1 = x_0 - grad/100;#100

funkcjonal_w_x_0 = trapez(w, ((solve_dupire(x_0)(:,N))'\-fwy).^2) +
    H1norm2(x_0' - astar')*(2^(count-1))
funkcjonal_w_x_1 = trapez(w, ((solve_dupire(x_1)(:,N))'\-fwy).^2) +
    H1norm2(x_1' - astar')*(2^(count-1))
odleglosc_x_0_i_x_1_w_H1 = H1norm2(x_0' - x_1')

```

```

#         if (count == 5)
#             figure(count+incount);
#             hold on;
#             plot(w, grad, "b");
#             hold off;
#         end
#         printf("-----\n");

#         incount++;
until (H1norm2(x_0' - x_1') < delta2 || incount > ITER_WEWN) #3

cc = x_1;
++count;
endwhile;

smile = cc;

```

#### 4. PREZENTACJA WYNIKÓW

Program uruchomiony ze standardowymi parametrami  $r = 0.05$ , **zmiennosc implikowana = 0.1 (stała)** zwraca w kolejnych 4 iteracjach głównej pętli oraz górnym ograniczeniem na pętlę w metodzie gradientowej równym 3 i liczbą węzłów przestrzennych,  $M = 110$  oraz liczbą węzłów czasowych  $N = 130$  następujące wartości będące odległościami w  $L^2$  pomiędzy danymi zwracanymi przez równanie Dupire oraz krzywą cen rynkowych:

```

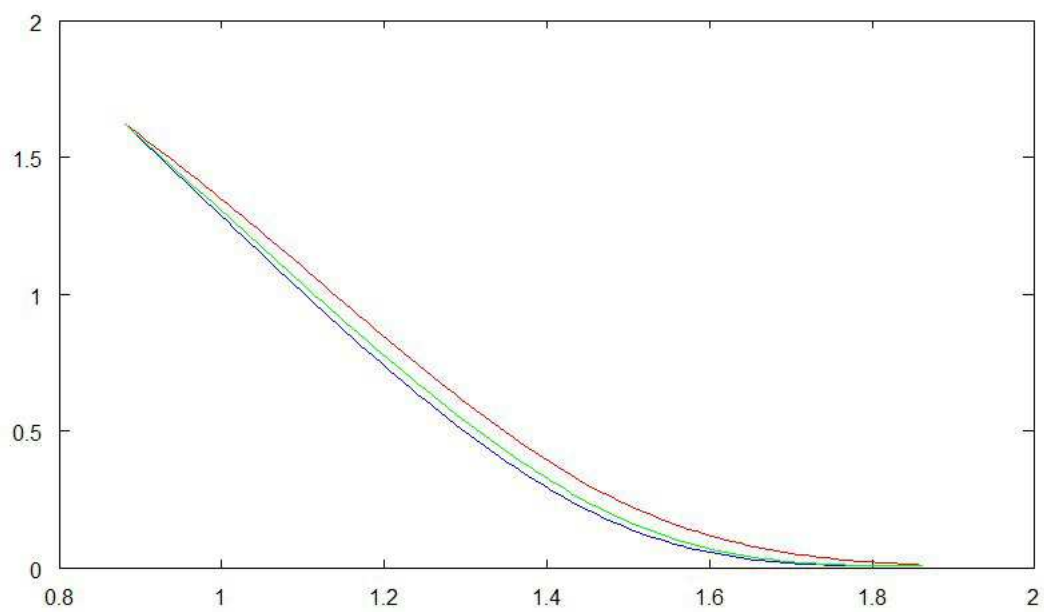
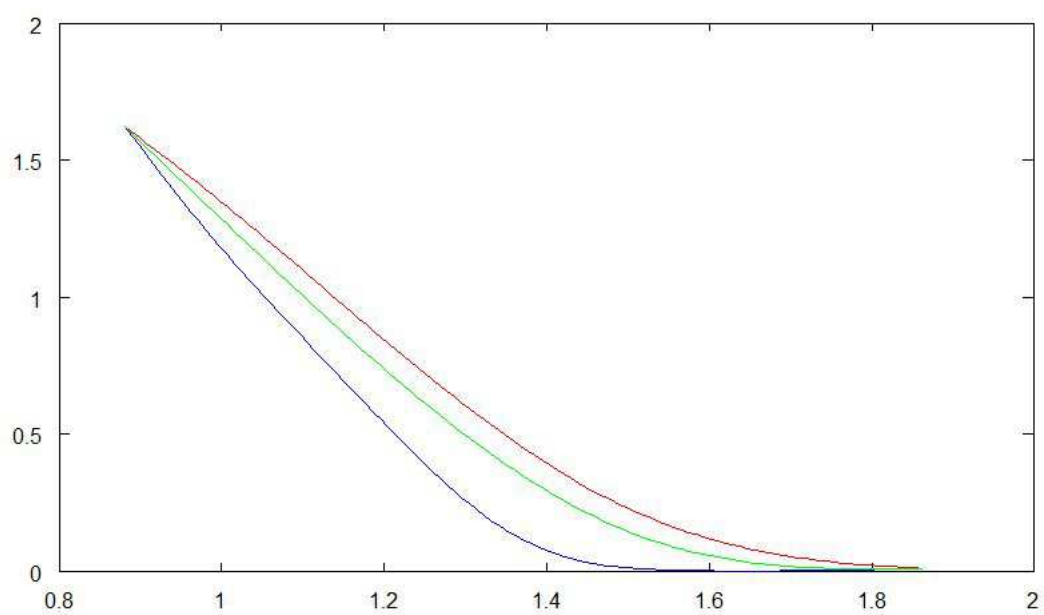
0.0468147521633026
0.00578290435058766
0.00264793198908022
1.41846306691047e-004

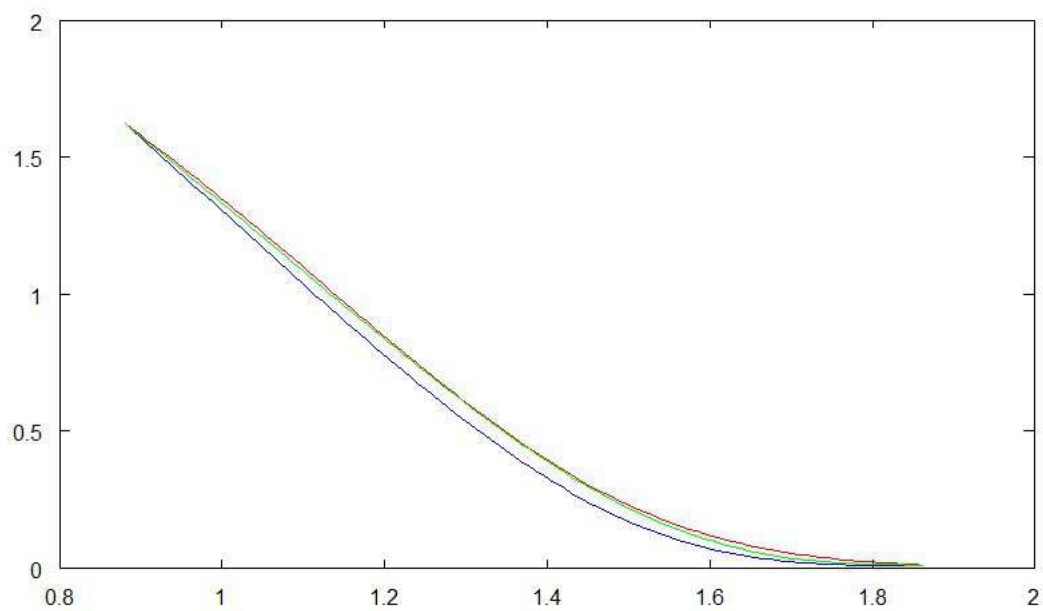
```

Zaproponowana metoda w [1] i [2] zapewnia zbieżność tylko do czwartej iteracji osiągając dokładność co do punktu bazowego, która to nie jest dostateczną w praktyce bankowej. W kolejnych iteracjach minimalizowana odległość nie maleje, a nawet rośnie. Manipulując liczbami węzłów  $M$  oraz  $N$  można co prawda poprawić ostatnią dokładność na przykład z  $1.41846306691047e-004$  na ok.  $1.16e-004$  biorąc  $M=200$ ,  $N=220$ , jednak nie zmienia to faktu, iż zbieżność ma miejsce tylko do czwartej iteracji włącznie.

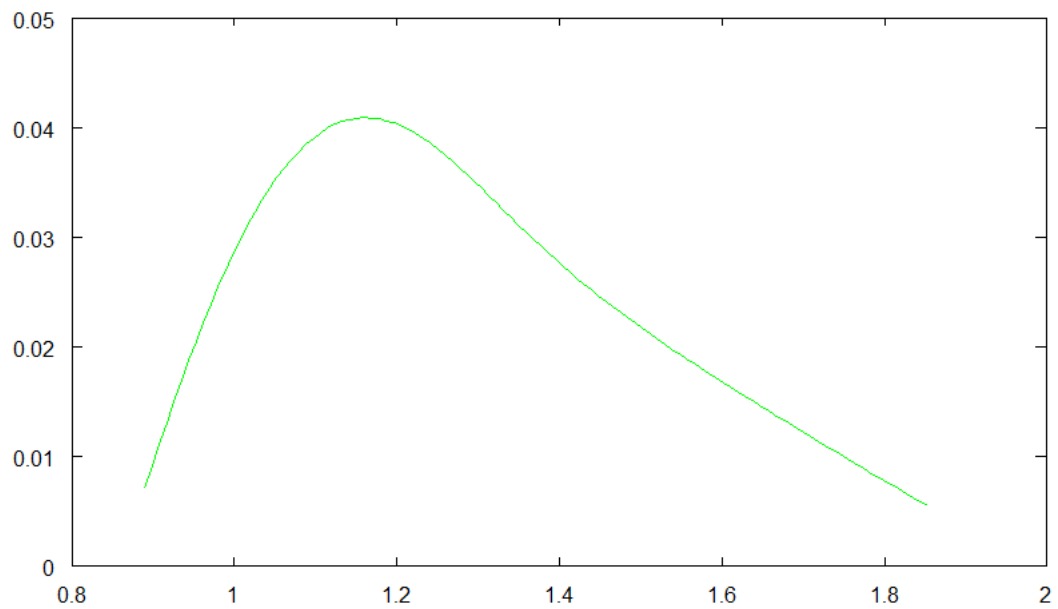
Poniższe wykresy prezentują kolejne cztery iteracje programu, gdzie kolorem czerwonym oznaczona została krzywa cen rynkowych  $C$ , niebieskim krzywa zwrócona przez równanie Dupire w poprzedniej iteracji, natomiast zielonym krzywa zwrócona przez równanie Dupire dla obecnej iteracji:

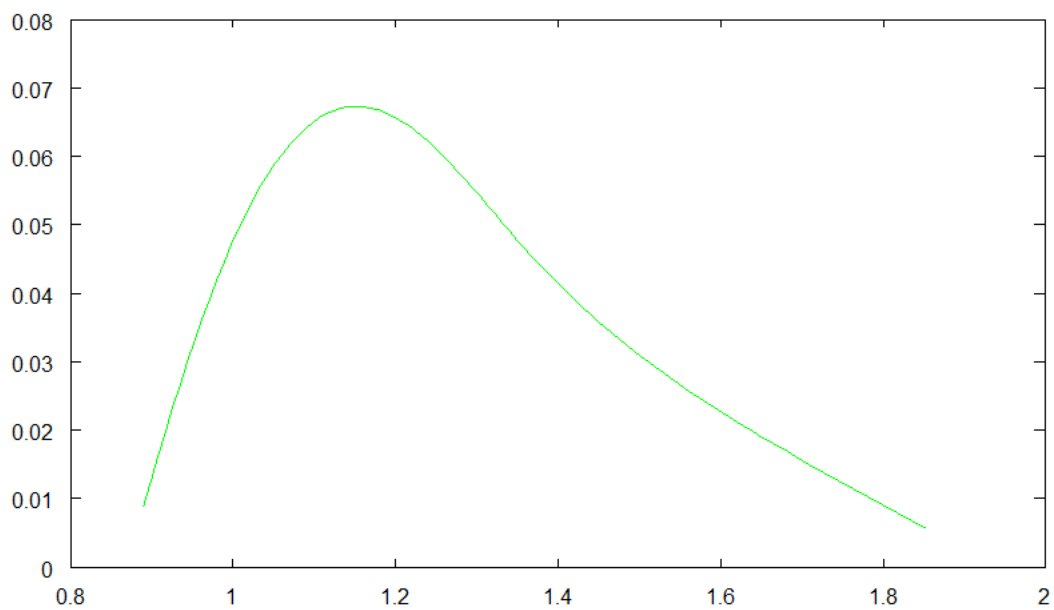
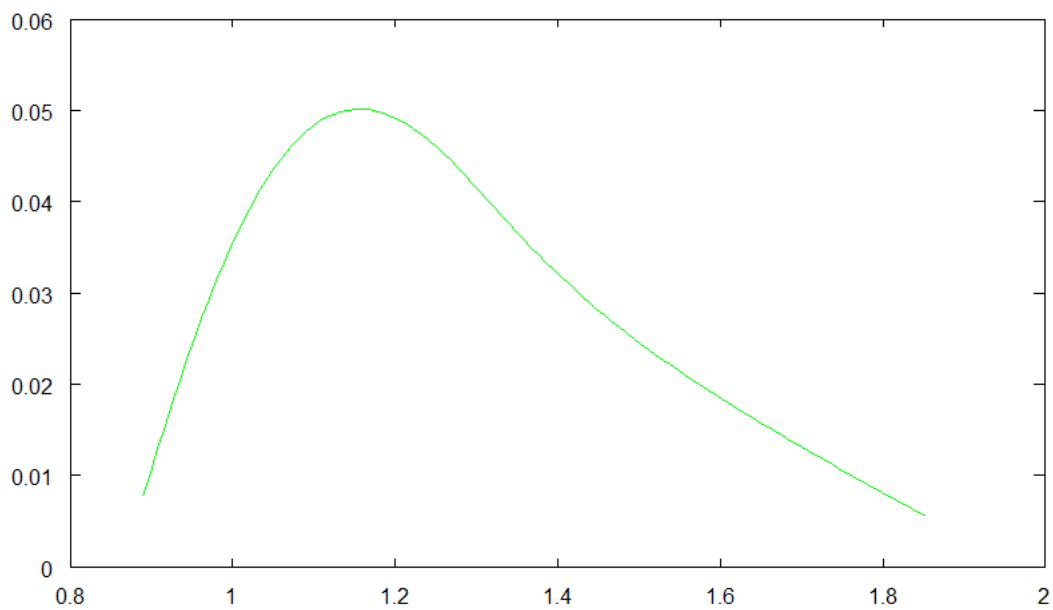
KALIBRACJA ZMIENNOŚCI LOKALNEJ Z WYKORZYSTANIEM METODY REGULARYZACJI TICHONOWA





Pomijając pierwszą, stałą krzywą zmienności w kolejnych krokach krzywe struktury uśmiechu prezentują się następująco:





#### 5. LISTA ZAŁĄCZNIKÓW

- (1) "locvol.m" - plik źródłowy programu
- (2) "locvol\_data.txt" - plik z danymi wejściowymi programu
- (3) Dwie publikacje wspomniane w LITERATURA

## LITERATURA

- [1] Herbert Egger, Heinz W. Engl, "Tikhonov Regularization Applied to the Inverse Problem of Option Pricing: Convergence Analysis and Rates", *Inverse Problems*
- [2] Herbert Egger, Torsten Hein, Bernd Hofmann "On decoupling of volatility smile and term structure in inverse option pricing", *Inverse Problems*